

Lynn Tyers<sup>1</sup>, Matt Moeser<sup>2</sup>, Ansie Yssel<sup>1</sup>, Melissa-Rose Abrahams<sup>1</sup>, Sarah Beth Joseph<sup>2</sup>, Nigel Garrett<sup>3</sup>, Ronald Swanstrom<sup>2</sup>, Carolyn Williamson<sup>1,3</sup>

<sup>1</sup>University of Cape Town Faculty of Health Sciences, Division of Medical Virology, Institute of Infectious Disease and Molecular Medicine, Cape Town, South Africa,

<sup>2</sup>University of North Carolina at Chapel Hill, Chapel Hill, United States,

<sup>3</sup>Centre for the AIDS Programme of Research in South Africa (CAPRISA), Durban, South Africa

## Uittreksel

Alhoewel antretrovirale terapie (ART) die replisering van die virus in mense wat leef met HIV (People living with HIV; PLWH) suksesvol kan onderdruk, bly die virus potent in latent-geïnfekteerde selle en kan terugslaan indien terapie onderbreek word. Ons het waargeneem dat onder vrouens uit die CAPRISA 002 akute infeksiekohort, in Kwa-Zulu-Natal, die meerderheid repliseringskompetente viruses geïnduseer uit hierdie latensie-reservoir die nouste verwant is aan viruse wat in die bloed sirkuleer in die jaar wat ART-aanvang voorafgaan. Alhoewel terugslanende en geïndusseerde viruse uit dieselfde poel ontstaan en oorvleuel, is hul nie noodwendig dieselfde populasie nie. Ons wou filogenetiese bepaal wanneer die terugkerende virus gesaai is in die latensie-reservoir van nege vrouens vanuit dieselfde kohort wat virale terugslag ( $>1000$  RNA kopieë/ml) minstens een jaar post-ART-aanvang ervaar het. Drie geenstreke, twee in env en een in nef, is geamplifiseer en gesekwenseer uit plasmaafgeleide, virale RNA, gemiddeld elke ses maande na akute infeksie tot met ART-aanvang, en tydens terugslag, deur gebruik te maak van Illumina MiSeq met Primer ID (PID). Die moontlike verwantskap tussen terugslagvirus en pre-ART-virusse is bepaal met behulp van maksimum-waarskynlikheidagtige bome met patristiese, klade- en plasingsmetodes deur benutting van 'n aangepaste dateringspyplyn (<https://primer-id.org/ogy>). Al drie geenstreke is suksesvol geamplifiseer en gesekwenseer vir al nege vrouens. Gemiddeld 354 PID-konsensussekvensies (met strekking 18-4760) per tydspunt per streek pre-ART, en 293 PID-konsensus-terugslag-virussekvensies (strekking 3-2383) is met terugslag vir elke deelnemer gegenereer. Dubbelsinnigheid in die filogenetiese bome, waarskynlik weens multivariante infeksie en afwykende afkoms, is geïdentifiseer as 'n uitdaging vir ons tydsberekeningsbenadering. Dit is absoluut belangrik dat die geskikste metode(s) bepaal word vir boomproduksie deur middel van optimale longitudinale belyning en vir die aanspreek van die dubbelsinnigheid geskep deur multivariante infeksie en divergente of herverbindingsafkoms.

## Agtergrond

- Die latente HIV-1 reservoir bly die grootste belemmering tot genesing in mense wat leef met HIV (PLWH), ten spyte van effektiewe antiretrovirale terapie (ART).
- Onderbreking van onderdrukkende ART lei tipies tot spoedige virale terugslag vanuit die latensie reservoir.
- Viruse wat tydens terugslag manifesteer, verteenwoordig 'n fraksie van hierdie latente reservoir.
- Verdermeer, die virusse gestimuleer in vitro deur byvoorbeeld kwantitatiewe virale uitgroeiotoetse (qVOA) en daardie wat manifesteer gedurende terugslag/behandeling-onderbrekingsoorvleuel, maar bly onderskeidend<sup>1,2</sup>.
- Vorige studies het getoon dat die grootste deel van die reservoir, soos gemitteer deur provirale of uitgroei-virussekvensering na in tyd aan ART-insiëring<sup>3,4,5</sup>. Ons beoog om te evalueer of hierdie bevinding konsekwent is met terugslagvirusse.

## Beduidendheid

- Analise van die temporale oorsprong van terugslavirüs sal groter insig bring t.o.v. die fraksie van die latensie reservoir wat in staat is tot terugslag te midde van behandelingsonderbreking.
- Verhoogde begrip van HIV-1-reservoirdinamiek mag wel strategieë tot beperking van die vorming en hardnekkigheid daarvan.

## Erkennings

Alle deelnemers van CAPRISA 002 akute infeksiekohort.



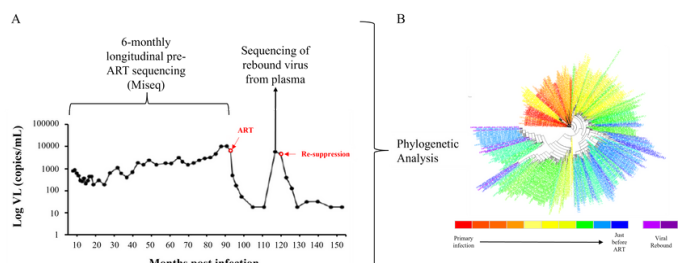
## Metodiek

### Deelnemers aan studie

- 9 chronies-geïnfekteerde PLWH uit die CAPRISA002-kohort wat virologies onderdruk is vir 'n minimum van 1 jaar, gevvolg deur virale terugslag, is geïdentifiseer.

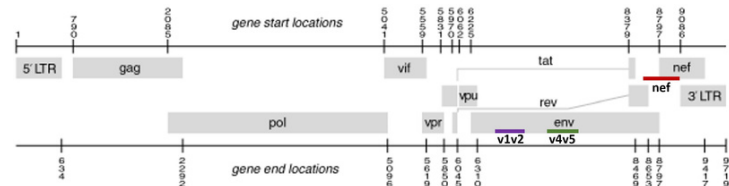
### Sekwensering van pre-ART- en terugslagvirus

- Illumina MiSeq diep-sekwensering met Primer ID is aangewend om sekvensies te genereer vanuit virale RNA, afgelui uit plasma, geproefsteek elke 6 maande voor behandeling asook tydens terugslag (Figuur 1A).



Figuur 1: Oorsig van pre-ART- en terugslag virussekvenseringsbenadering.

- Tydsberekening van virale ingang deur die terugslagvirus na die reservoir is gedoen d.m.v. maksimum-waarskynlikheidagtige bome met patristiese, klade- en plasingsmetodes deur 'n pasgemaakte dateringspyplyn (<https://primer-id.org/ogy>) (Figuur 1B).
- Drie genomiese streke (V1V2, V4V5 en nef, HXB2: 8678-9156) is geamplifiseer in 'n multiplekse reaksie uit plasma-afgeleide RNA (Figuur 2). Geenstreke is geselekteer gebaseer op vorige werk wat aangedui het dat hul sterk filogenetiese sein5 produseer.
- Minder as 18 konsensussekvensies per tydspunt is as 'n mislukte proefloop beskou.
- Rou sekvensielesings is geprosesseer d.m.v. 'n pasgemaakte pyplyn ([https://github.com/HIVDiversity/NGS\\_processing\\_pipeline](https://github.com/HIVDiversity/NGS_processing_pipeline); DOI: 10.5281/zenodo.3372202).
- Kwaliteitsfiltering, saamvoeging van oorvleuelende gepaarde-eindlesings en Primer ID is deur gebruik van die MotifBinner2.R program geprosesseer. (<https://github.com/HIVDiversity/MotifBinner2>; DOI: 10.5281/zenodo.3372204).

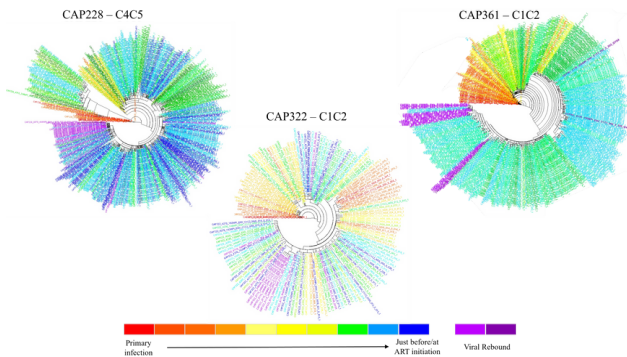


**Figuur 2:** Streke geamplifiseer in die multiplekse benadering vir Illumina MiSeq-sekwensering met Primer ID.

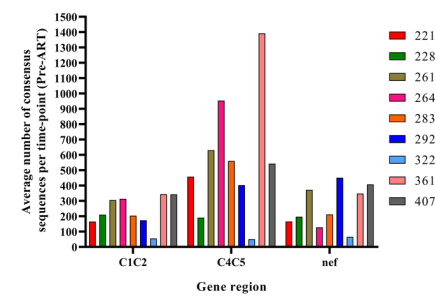
## Data-analise

Multiplekse sekvensiediepte en tydsberekening van terugslagvirusse:

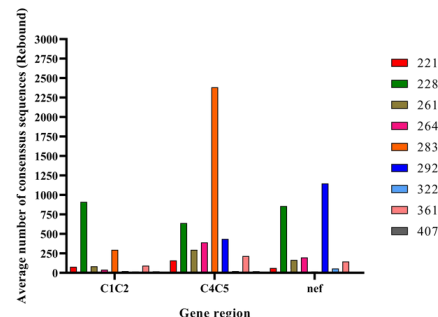
- Deelnemer was geïnfekteer vir gemiddeld 5 jaar (strek van 2.6 tot 8.2 jare) en het 'n virale terugslag na gemiddeld 2.5 jaar (strek van 1.3 tot 4 jare) ondervind.
- Van hierdie deelnemers is 4 geïdentifiseer as potensiell multivariante infeksies (44.4%), vier as enkelvariant-infeksies (44.4%) en twee as onbepaalbaar, weens gebrek aan vroeësteekproef.
- Plasma-virale lading met terugslag het gestrek van 1250 kopieë/ml tot 640721 kopieë/ml.
- Gemiddeld 354 konsensussekvensies (strek van 18 tot 4760) per tydspunt per streek is gegenereer pre-ART (Figuur 3), en 293 terugslagvirus-konsensussekvensies (strek van 3 tot 2383) is per deelnemer aan die studie gegenereer.
- Boom R2 waardes het gestrek van 0.036 tot 0.712. Bome met R2 waardes <0.4 is beskou as onvoldoende evolusionêre sein/ leeragtige struktuur vir tydsberekeningsanalise.



**Figuur 5:** Verteenwoordigende maksimum waarskynlikheidsagtige bome aangewend om terugslagvirus-tydsberekening te skat. Steekproef tydspunte pre-ART is gekleurkodeer van rooi (studiedeelname) tot blou (jaar voor ART). Terugslagvirussekvensies is in pers aangedui. Die hiperveranderlike lusstreke van env is verwys.



**Figuur 3:** Gemiddelde getal konsensussekvensies verkry per tydspunt vir elke deelnemer.



**Figuur 4:** Gemiddelde aantal konsensussekvensies verkry na virale terugslag vir elke deelnemer.

- Multivariantinfeksie het boomstruktuur beïnvloed op verskeie wyses, soos aangedui deur die bome vir CAP228-C4C5 en CAP322-C1C2 (Figuur 5).
- CAP228-C4C5 illustreer 'n geval waar twee afkomste divergeer, en CAP322-C1C2 illustreer 'n geval waar sekvensies van longitudinale tydspunte meng met twee kenmerkend primêr-geïnfekteerde klusters teenwoordig. Beide hierdie situasies impakteer boomstruktuur ( $R^2=0.256$  en 0.21, onderskeidelik) negatief. Dit mag die tydsberekeningsskattings gemaak deur ons pyplyn beïnvloed.

## Doelwitte

- Om die beste benadering te bepaal om die dubbelsinnigheid wat multivariantinfeksie veroorsaak en potensiële herkombinering aan te spreek.
- Om 'n enkele tydsberekeningsskatting af te lei vir die terugslagvirus d.m.v. geenstreke waar tydsberekening vir elke geenstreek nie konkordant is.

## Verwysings

- Pannus, P., Rutsaert, S., De Wit, S., Allard, S. D., Vanham, G., Cole, B., Nescoi, C., Aerts, J., De Spiegelaere, W., Tsoumanis, A., Coutenye, M.-M., Herssens, N., De Scheerder, M.-A., Vandekerckhove, L. and Florence, E. Rapid viral rebound after analytical treatment interruption in patients with very small HIV reservoir and minimal on-going viral transcription. *J Int AIDS Soc.* 2020; 23(2):e25453.
- Salantes DB, Zheng Y, Mampe F, Srivastava T, Beg S, Lai J, Li JZ, Tressler RL, Koup RA, Hoxie J, Abdel-Mohsen M, Sherrill-Mix S, McCormick K, Overton ET, Bushman FD, Learn GH, Siliciano RF, Siliciano JM, Tebas P, Bar KJ. HIV-1 latent reservoir size and diversity are stable following brief treatment interruption. *J Clin Invest.* 2018 Jul; 128(7):3102-3115. doi: 10.1172/JCI120194. Epub 2018 Jun 18. PMID: 29911997; PMCID: PMC6026010.
- Brodin J, Zanini F, Thebo L, et al. Establishment and stability of the latent HIV-1 DNA reservoir. *Elife.* 2016;1-15. doi:10.7554/elife.18889
- Abrahams M-R, Joseph SB, Garrett N, et al. The Replication-Competent HIV-1 Latent Reservoir is Primarily Established Near the Time of Therapy Initiation. *Sci Transl Med.* 2019;11(513). doi:10.1126/scitranslmed.aaw5589
- Joseph SB, Abrahams M-R, Tyers L, et al. Temporal dynamics of reservoir formation are not strongly influenced by replication competency or cellular tropism of HIV-1 proviruses [Manuscript in preparation].